

論文 滑り変位の増大にともなうコンクリート接合面の表面粗さの破壊の進行と接合面せん断挙動との関係に関する研究

香取慶一^{*1}・林 静雄^{*2}

要旨: プレキャスト水平接合部において、接合面粗さの破壊（凹凸の崩れ）が進行すると思われる接合面滑り変位が概ね 6mm 以下の領域での、載荷せん断力や目開き変位の挙動の特性を明らかにすることを目的とした。その結果、①接合面滑り変位が 1.5mm 程度までなら接合面粗さ評価値とコンクリート強度で載荷せん断力を推定可能である、②試験体の目開き変位は接合面の粗さの状態によってその挙動が大きく左右される、③目開き変位の観点から刷毛引き程度の接合面の粗し方と平滑な接合面とはほぼ差違がなく、その両者と高さ 5mm の山形の凹凸を施した鋼板押し付け試験体では異なる挙動を示す、ことがわかった。

キーワード: プレキャストコンクリート、接合面、表面粗さ、せん断力、目開き変位

1. はじめに

著者らは、プレキャストコンクリート構造の水平接合部において、接合面の表面粗さを定量的に評価することを目的に研究を行っている。接合面の滑り変位を微小な範囲に限定すると、載荷せん断力および接合面に直交配筋された接合筋に生じる軸方向引張力と接合面表面粗さ評価値（接合面表面粗さを数値化した値）との間に相関が見られた旨を今までに報告した¹⁾。

本報では、接合面せん断挙動のうち、接合面滑り変位が 6mm までの領域での載荷せん断力や接合面目開き変位の挙動の解明を目的とした。

2. 試験体

2. 1 試験体概要

試験体は、プレキャストコンクリート構造の耐震壁-梁（床）水平接合部の微小要素を意図したものである。試験体一覧を表-1 に、また試験体詳細図を図-1 に示す。本研究での「接合面」とは、図-1 に示す試験体の「先打ち部分」・「後打ち部分」の境界、すなわち両部分コ

表-1 試験体一覧

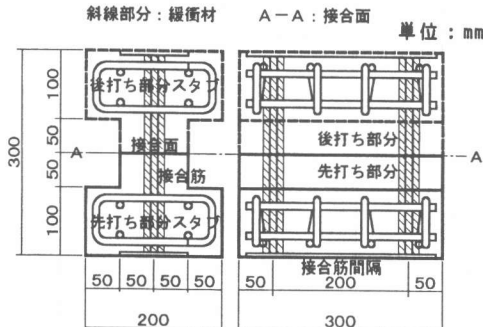
試験体名	接合面粗さ処理方法	接合筋種類・本数	緩衝材
1-1	山形鋼板 押し付け	3-D10 無加工	あり
2-1		2-D10	なし
3-1、3-2		無加工	あり
4-1		磨き鋼板押し付け	なし
5-1、5-2		さらさら刷毛	なし
6-1		引き	あり
7-1、7-2		山形鋼板押し付け	2-D13 なし
8-1		磨き鋼板	溝切り なし
9-1		押し付け	加工 あり

図-1 の接合筋間隔：3-D10 は@100mm、2-D10 と 2-D13 は@200mm。

ンクリートの打継ぎ面のことである。試験体は接合面として 30cm (長さ方向) × 10cm (幅方向) の大きさを持ち、先打ち・後打ち各部分がそれぞれ凸字型断面をなし、試験体全体では I 型断面となっている。変動要因は、接合面粗さ処理方法と接合筋の径および本数、そして 2.2 節に示す接合筋周囲に施す緩衝材の有無の計 3 種類である。試験体製作順序は、まず先打ち部分型枠を組み、接合筋とスタブ補強筋を所定の

*1 東京工業大学助手 建築物理研究センター 工修（正会員）

*2 東京工業大学教授 建築物理研究センター 工博（正会員）



緩衝材：接合筋全長にわたり接合筋周囲に巻き付け。
厚さは接合筋表面から約20mm。

図-1 試験体詳細図

位置に配し、先打ち部分コンクリートを打設する。打設終了後約90分を目標に、接合面粗さ処理を施す。粗さ施工後およそ3日間常温常圧空気中で養生し、3.1節(2)項に示す方法で「接合面粗さ測定」を行う。測定後に後打ち部分型枠を組み、スタブ補強筋を所定の位置に配し、後打ち部分コンクリートを打設する。後打ち部分打設後1か月を目標に常温常圧空気中で養生し、養生後に型枠を脱型し、試験体を完成させる。

2.2 使用材料

コンクリート用粗骨材は石灰石碎石（ふるいにより最大粒径寸法20mm）を、細骨材には川砂を用い、セメントには普通ポルトランドセメントを用いた。力学的性質を表-2に示す。先打ち部分と後打ち部分のコンクリート強度が異なるため、その両部分のコンクリートの圧縮強度をそれぞれ比較し、どちらか小さい方の値をその試験体の代表圧縮強度 σ_B として以後の検討に用いる。

接合筋には、表-1に示す通りD13を2本、あるいはD10を2本または3本使用した。7-1試験体から9-1試験体までの4体では接合筋のリブ部分に軸方向の溝を施した。また、表-1に示す通り、ほぼ半数の試験体には接合筋の純粹な伸び歪み度だけを抽出する様に、だぼせん断力除去用の緩衝材（工作用油粘土を使用）を

表-2 使用コンクリートの力学的性質

試験体名	代表コンクリート強度		材齢(日)	
	圧縮 σ_B (MPa)	左欄の平方根 $\sqrt{\sigma_B}$	先打ち 部分	後打ち 部分
1-1	20.8	4.56	31	23
2-1, 4-1	22.2	4.71	56	50
3-1, 3-2	21.3	4.62	44	39
5-1, 5-2	22.5	4.74	32	28
6-1				
7-1, 7-2	22.9	4.79	90	84
8-1				
9-1	22.7	4.76	79	73

材齢は試験体養生期間と同じ。

施した。接合筋の力学的性質を表-3に示す。

表-3 使用接合筋の力学的性質

鉄筋 種類	降伏強度 σ_y (MPa)	引張強度 σ_s (MPa)	ヤング率 E_s (MPa)
D10	360.7	487.3	1.82×10^6
D13	353.4	528.6	1.78×10^6

D13溝切り加工接合筋の断面積 $A_s = 1.02\text{cm}^2$

3. 実験

3.1 接合面粗さ処理・粗さ測定

(1) 粗さ処理

接合面粗さ処理では、粗さ処理方法として下記3種類を採用した。

1. 面材（粗さ型枠）による押し付け形成

接合面に固形の面材を押し付け、粗さを形成するもの。表面を磨き処理した鋼板と高さ5mm、底辺10mmの二等辺三角形状の凹凸処理を施した山形鋼板の合計2種類を採用した。

2. コンクリート硬化前に行う手処理

接合面に諸道具を用いて手作業で粗さを施すもの。左官用さらさら刷毛を用いた刷毛引きを採用した。

(2) 粗さ測定

接合面粗さ測定では、接合面全域についての凹凸の大きさを得ることが困難なため、接合面の長さ方向に引いたある特定の線（以後「測線」

と呼ぶ) 上の凹凸によって接合面全域の粗さを代表できると仮定し、接合面粗さ測定を行った。測線は 2 本設定した。設定位置を図-2 に示す。

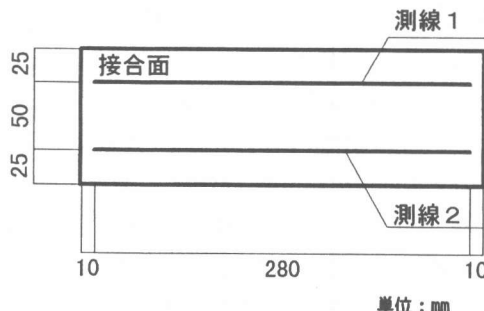


図-2 接合面上の測線位置図

接合面粗さ測定については、レーザー光式変位計を用いた非接触式粗さ測定方法により測定を行った。すなわち、接合面粗さ処理を施した先打ち部分試験体を精密機械工作用旋盤の上に据え付け、試験体の位置を調整した後、試験体の接合面に前もって設定した測線の上にレーザー光式変位計を配置する。この後に旋盤を駆動し試験体を等速度で移動させる。これにより測線上の位置とその位置における凹凸の関係が得られる。

実際の測定では、測線の長さは接合面長さ 30cm のうち両側 1cm ずつを削除した 28cm とし、0.1mm ごとに凹凸の大きさの測定(測線 1 本当たり 2800 点の合計 5600 点)を行った。

(3) 接合面粗さの評価

本研究では前項での仮定の通り、測線上の粗さ評価値で接合面全域の粗さを評価できるとする。そして 2 つの測線上の評価値の平均を、接合面全体の粗さ評価値とする。

接合面の粗さ評価方法に関しては、粗さの凹凸の大きさと同時に凹凸の形状の違いを考慮できる「負荷値 R_k ^{注および 1) ~ 3)}」を採用した。測線上の粗さ評価値を表-4 に示す。

3. 2 接合面せん断力載荷実験

表-4 接合面測線上の粗さ評価値

試験 体名	負荷値による測線の 粗さ評価値 R_k (mm)		試験 体名	負荷値による測線の 粗さ評価値 R_k (mm)	
	上: 測線 1	平均		上: 測線 1	平均
1-1	4.308 3.628	3.968	5-2	1.914 1.328	1.621
2-1	4.253 4.026	4.140	6-1	0.949 1.700	1.325
3-1	4.076 4.060	4.068	7-1	4.235 4.376	4.305
3-2	2.416 4.010	3.213	7-2	4.237 4.306	4.272
4-1	0.336 0.358	0.347	8-1	0.563 0.100	0.332
5-1	1.871 1.394	1.633	9-1	0.048 0.050	0.049

載荷装置図を図-3 に示す。本報では、試験体を接合部の微小要素と見なすため、先打ち・後打ち両部分を常に平行な状態でせん断力を載荷する必要がある。そのため、試験体の先打ち・後打ち両部分に緊結する L 型鉄製載荷フレームに鉄製平行クランクを表裏 1 組ずつ取り付けた上で、いわゆる S 型載荷方法によりせん断力 Q を載荷する様改良を加えた。

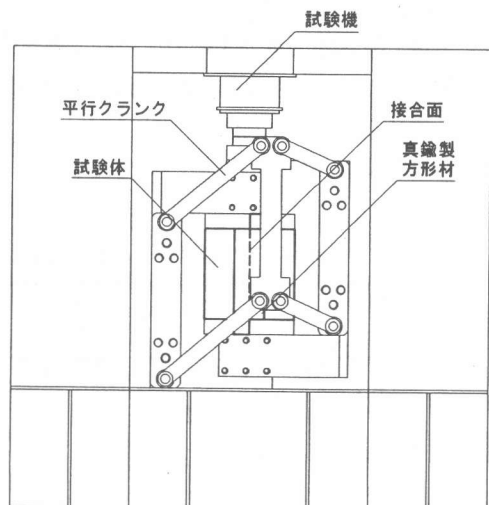


図-3 載荷装置図

変位については、接合面長さ方向の先打ち・後打ち両部分のスタブ間相対変位(滑り変位)と接合面に鉛直の方向の両部分のスタブ間相対

変位（目開き変位）を測定した。測定箇所は合計4か所とした。なお、以下に「平均滑り変位 δ_H 」とは、上記の4箇所の測定位置での滑り変位の平均を、また「平均目開き変位 δ_V 」とは、上記の4箇所の測定位置での目開き変位の平均を指す。そして、 δ_H が概ね1mm以下の範囲を「微小変形時」と、また δ_H が1mm以上6mm以下の範囲を「中変形時」と定義する。

4. 実験結果・考察

4.1 平均滑り変位の増加とともに生じる載荷せん断力の推移

表-5に δ_H の大きさ別の載荷せん断力の指標値を示し、表-6に δ_H の大きさ別による載荷せん断力と接合面表面粗さ評価値との相関を示す。なおここで、載荷せん断力の指標としては、既報¹⁾と同様に、試験体のコンクリート強度の影響を考慮すべく載荷せん断力Qを接合面面積A($=300\text{cm}^2$)で除した載荷せん断応力度 τ をコンクリートの代表強度の平方根で除した値 $\tau/\sqrt{\sigma_B}$ を採用した。ただし、7-1試験体については、せん断力載荷実験の最中に2軸変位計が脱落して δ_H が2.5mmを超える範囲での載荷せん断力と δ_H との関係が不明であるため、本節では相関の対象から除いた。あわせて、

6-1試験体についても、 δ_H が1.05mmを超えた時点から4箇所の変位計の滑り変位はほぼ等しかったものの、目開き変位に顕著なばらつきが現れ始めた。よってこの試験体では $\delta_H > 1.05\text{mm}$ で試験体が接合面外方向に捩れたものと判断されるので、同様に除外した。

相関係数で比較すると、 δ_H が大きくなるにつれて相関係数が単調に減少し、載荷せん断力と粗さ評価値との相関が弱くなっていることがわかる。接合面粗さ評価値と接合面コンクリート強度による載荷せん断力の推定の範囲の限界は、仮に相関係数 $r=0.7$ 程度以上を有意とする、 $\delta_H=1.5\text{mm}$ 程度までと判断される。

4.2 滑り変位と目開き変位との関係

試験体には接合面に垂直方向の圧縮力（面圧縮力）は作用していないので、せん断力載荷により生じる滑り変位と同時に、目開き変位も発生すると考えられる。

図-4に各試験体ごとの δ_H と δ_V との関係を示す。図の性状は接合面粗さの処理方法により特徴付けられる。まず1-1試験体を除く山形鋼板押し付けによる試験体(2-1, 3-1, 3-2, 7-2の各試験体と $\delta_H < 2.5\text{mm}$ に限定した7-1試験体)では、ほぼ $\delta_H < 0.5\text{mm}$ の範囲では、 δ_H と δ_V がほぼ等しい状態となっている。すなわち、

表-5 載荷せん断力の指標値（せん断力載荷実験結果）

各 δ_H における試験体ごとの載荷せん断力の指標値 $\tau/\sqrt{\sigma_B}$										
試験体名	1-1	2-1	3-1	3-2	4-1	5-1	5-2	7-2	8-1	9-1
接合面粗さ評価値 $R_k(\text{mm})$	3.968	4.140	4.068	3.213	0.347	1.633	1.621	4.272	0.332	0.049
δ_H (mm)	0.5	0.472	0.667	0.519	0.566	0.464	0.252	0.263	0.723	0.245
	1	0.407	0.544	0.494	0.515	0.456	0.267	0.261	0.610	0.245
	1.5	0.402	0.383	0.463	0.509	0.450	0.286	0.279	0.585	0.246
	2	0.393	0.376	0.451	0.511	0.453	0.306	0.288	0.563	0.243
	2.5	0.390	0.371	0.439	0.496	0.460	0.306	0.293	0.550	0.249
	3	0.376	0.366	0.429	0.498	0.459	0.297	0.286	0.543	0.248
	3.5	0.356	0.367	0.414	0.472	0.458	0.292	0.279	0.550	0.249
	4	0.333	0.372	0.412	0.450	0.456	0.286	0.276	0.533	0.258
	4.5	0.308	0.368	0.409	0.435	0.455	0.285	0.278	0.536	0.261
	5	0.301	0.370	0.395	0.399	0.457	0.285	0.278	0.538	0.261
	5.5	0.297	0.368	0.380	0.379	0.460	0.287	0.282	0.516	0.266

τ : 各 δ_H 時の載荷せん断力を接合面面積A($=300\text{cm}^2$)で除した載荷せん断応力度(MPa)

σ_B : 使用コンクリートの代表圧縮強度(MPa)

表-6 載荷せん断力と接合面粗さ評価値との相関

δ_H (mm)	回帰式			備考
	$\tau / \sqrt{\sigma_B} = a \cdot R_k + b$	傾斜 a	切片 b	
0.5	0.0987	0.190	0.8206	傾斜値最大 切片値最小
1	0.0743	0.213	0.7848	
1.5	0.0587	0.231	0.7095	
2	0.0540	0.241	0.6891	
2.5	0.0502	0.247	0.6662	
3	0.0486	0.246	0.6493	
3.5	0.0461	0.246	0.6317	
4	0.0430	0.247	0.6120	
4.5	0.0409	0.247	0.5839	
5	0.0385	0.248	0.5619	
5.5	0.0348	0.251	0.5300	傾斜値最小 切片値最大

τ : 各 δ_H 時の載荷せん断力を接合面面積 ($A=300\text{cm}^2$) で除した値。

τ 、 σ_B の単位は MPa。 R_k の単位は mm。

試験体先打ち部分と後打ち部分が、接合面上の直角二等辺三角形状の凹凸の側面に乗り上がる様にして相対的に移動している。 δ_H がほぼ 0.5mm を過ぎると δ_V の増加の割合が鈍り、 δ_H の増加が卓越し始める。つまり、凹凸側面の乗り上がりによる相対移動から、何らかの形で凹凸を破壊しながら滑り変位が大きくなる相対移動に移行したことがわかる。

一方、6-1 試験体 ($\delta_H < 1.05\text{mm}$ に限定) を除く磨き鋼板押し付けとさらさら刷毛引きによる試験体 (4-1, 5-1, 5-2, 8-1, 9-1 の各試験体) では、微小変形時のごく初期の段階から δ_V は δ_H を下回っている。そして δ_H がほぼ 0.5mm 時点での δ_V は、山形鋼板押し付けによる試験体のそれのほぼ半分になっている。

さらさら刷毛引き試験体の接合面粗さは不規則な形状であるが、わずかな滑り変位によって細かい凹凸が消失し、目開き変位により大きな影響を与える凹凸が生じる可能性がある。そこで、この影響の大きい凹凸を抽出すべく、粗さの測定結果をフーリエ変換する。そして、フーリエスペクトルの大きい正弦波（または余弦波）を各測線につき上位 3 波抽出し（以下「卓越波」

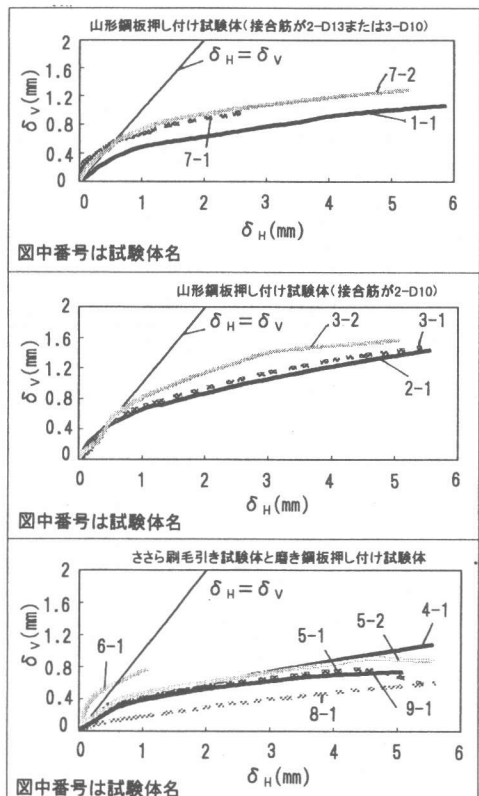


図-4 $\delta_V - \delta_H$ 関係図

と呼ぶ), 表-7 に示す。卓越波の側面に沿って試験体が乗り上がるならば、卓越波の傾斜（表-7 欄外）と試験体のせん断力載荷最初期の δ_H に対する δ_V の比がほぼ等しくなるはずである。

さらさら刷毛引き試験体では、 δ_H に対する δ_V の比に対して卓越波の傾斜は小さい。卓越波の傾斜は最大でも δ_H に対する δ_V の比の 1/6 程度となり、卓越波の側面に乗り上がる様な挙動が生じたとは判断できない。磨き鋼板押し付け試験体に関しても、一部を除き傾斜と δ_H に対する δ_V の比には大きな差が生じている。

以上より、試験体の目開き変位は接合面の粗さの状態によってその挙動が大きく左右されると考えられる。そして、目開き変位の点から見ると、刷毛引き程度の接合面の粗し方と平滑な接合面はとほぼ差違がないといえ、山形鋼板押し付け試験体に見られる様な接合面の凹凸側面

表-7 フーリエスペクトル卓越波と傾斜

卓越波順序	試験体名(ささら刷毛引き試験体と磨き鋼板押し付け試験体)					
	4-1	5-1	5-2	6-1	8-1	9-1
測線1	最大 卓越波	振幅: 0.0953 波長: 56.0	振幅: 0.339 波長: 93.3	振幅: 0.589 波長: 140	振幅: 0.123 波長: 70.0	振幅: 0.256 波長: 140
	傾斜: 0.00681	傾斜: 0.0145	傾斜: 0.0168	傾斜: 0.00701	傾斜: 0.00731	傾斜: 0.00835
	第2 卓越波	振幅: 0.112 波長: 70.0	振幅: 0.280 波長: 35.0	振幅: 0.239 波長: 40.0	振幅: 0.150 波長: 13.3	振幅: 0.177 波長: 46.7
	傾斜: 0.00641	傾斜: 0.0320	傾斜: 0.0239	傾斜: 0.0451	傾斜: 0.0152	傾斜: 0.0147
	第3 卓越波	振幅: 0.0848 波長: 25.5	振幅: 0.248 波長: 25.4	振幅: 0.221 波長: 16.5	振幅: 0.0956 波長: 40.0	振幅: 0.199 波長: 93.3
	傾斜: 0.0133	傾斜: 0.0390	傾斜: 0.0536	傾斜: 0.00957	傾斜: 0.00852	傾斜: 0.0113
	最大 卓越波	振幅: 0.0701 波長: 35.0	振幅: 0.233 波長: 93.1	振幅: 0.245 波長: 140	振幅: 0.546 波長: 7.75	振幅: 0.120 波長: 93.3
	傾斜: 0.00801	傾斜: 0.0100	傾斜: 0.00699	傾斜: 0.0156	傾斜: 0.0621	傾斜: 0.000490
	第2 卓越波	振幅: 0.0944 波長: 93.3	振幅: 0.314 波長: 93.1	振幅: 0.331 波長: 56.0	振幅: 0.269 波長: 93.3	振幅: 0.0826 波長: 9.00
測線2	傾斜: 0.00405	傾斜: 0.0135	傾斜: 0.0237	傾斜: 0.0115	傾斜: 0.0367	傾斜: 0.000240
	第3 卓越波	振幅: 0.0482 波長: 93.3	振幅: 0.230 波長: 46.6	振幅: 0.149 波長: 21.5	振幅: 0.345 波長: 70.0	振幅: 0.120 波長: 17.4
	傾斜: 0.00207	傾斜: 0.0198	傾斜: 0.0276	傾斜: 0.0197	傾斜: 0.0276	傾斜: 0.00114
	せん断力載荷 最初期変位	$\delta_H=0.032\text{mm}$ $\delta_V=0.019\text{mm}$ $\delta_V/\delta_H=0.59$	$\delta_H=0.016\text{mm}$ $\delta_V=0.004\text{mm}$ $\delta_V/\delta_H=0.25$	$\delta_H=0.013\text{mm}$ $\delta_V=0.014\text{mm}$ $\delta_V/\delta_H=1.1$	$\delta_H=0.011\text{mm}$ $\delta_V=0.026\text{mm}$ $\delta_V/\delta_H=2.4$	$\delta_H=0.027\text{mm}$ $\delta_V=0.002\text{mm}$ $\delta_V/\delta_H=0.074$
せん断力載荷 最初期変位						
$\delta_H=0.614\text{mm}$ $\delta_V=0.508\text{mm}$ $\delta_V/\delta_H=0.83$						

卓越波の振幅および波長の単位はmm。傾斜は無名数。
(卓越波の傾斜) = (卓越波振幅の4倍) / (卓越波波長)

の乗り上がりは生じなかつたと判断される。

1-1 試験体と 6-1 試験体の δ_H と δ_V の関係が他の試験体と異なる原因は不明である。

5. 結論

本研究で下記の知見を得た。

- 接合面粗さ評価値と接合面コンクリート強度による載荷せん断力の推定の範囲の限界については、相関係数 $r=0.7$ 程度以上を有意とすると、 $\delta_H=1.5\text{mm}$ 程度までと判断される。
- 試験体の目開き変位は、接合面の粗さの状態によってその挙動が大きく左右されると考えられる。目開き変位の観点から考えると、刷毛引き程度の接合面の粗し方と平滑な接合面とはほぼ差違がないといえ、あわせてその両者と山形鋼板押し付け試験体では異なる挙動を示すことがわかった。

謝辞: 本研究は、文部省科学研究費補助金、東京工業大学建築物理研究センター全国共同研究、東京工業大学応用セラミックス研究所リーダーシップ支援経費の援助を受けました。

参考文献

- 香取慶一、林 静雄 他: コンクリート打継ぎ面に直交する鉄筋

の挙動と打継ぎ面粗さの関係に関する研究: コンクリート工学年次論文報告集, Vol.19, No.2, pp.1263-1268, 1997

- ISO/DIS 13565-2 "Characterization of surface having stratified functional properties, Part 2: Height characterization using the linear material ratio curve", International Organization for Standardization, 1994.2
- 麻田 宏、小原嗣朗: 金属材料表面工学、コロナ社、1968.12

注: 負荷値 (R_k)

図-A 1 の様に、粗さ曲線に最小自乗法で求めた基準線と平行な直線を引き、これによって区切られた実質部分の長さの合計 ΣS の、測定長さ L に対する比を図示したものを負荷曲線という。この負荷曲線に、曲線上に 40%含まれる様に、かつ勾配が最小になる様な割線を引く。割線が $\Sigma S/L=0\%$ 100% の位置に引いた縦軸と交わった位置の値を R_1 および R_2 とすると、 R_1 と R_2 の差が負荷値 R_k となる。

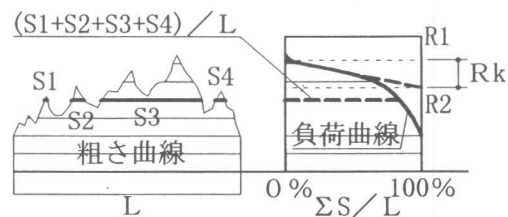


図-A 1 負荷値の求め方